



UNIVERSIDAD  
POLITÉCNICA  
DE MADRID

---

# DINÁMICA DE REENTRADA

AERODINÁMICA DE ALTAS VELOCIDADES Y FENÓMENOS DE REENTRADA  
MÁSTER UNIVERSITARIO EN SISTEMAS ESPACIALES (IDR-UPM)

---

*Autor:* Andrés Pedraza Rodríguez

*Profesor:* Sebastián Nicolás Franchini Longhi

MADRID, 28 DE MAYO, 2021



## **Resumen**

El objetivo del presente trabajo es la implementación de las ecuaciones de la dinámica de reentrada de una cápsula mediante un esquema numérico: Runge-Kutta 4 embebido. Mediante este código se simularán posibles reentradas de la cápsula de la misión Vostok-1 para cumplir con los requisitos de carga aerodinámica necesaria para asegurar la supervivencia del cosmonauta Yuri Gagarin. Finalmente se seleccionará un ángulo de entrada de  $5^\circ$  y una eficiencia aerodinámica de 0.1, se estudiará la trayectoria final y se compararán los resultados con las soluciones analíticas.



# Índice

Índice de figuras	I
Índice de tablas	II
<b>1. Introducción</b>	<b>1</b>
<b>2. Metodología</b>	<b>1</b>
<b>3. Vostok-1</b>	<b>2</b>
<b>4. Planteamiento matemático</b>	<b>3</b>
4.1. Dinámica de la reentrada . . . . .	3
4.2. Esquema de integración . . . . .	5
4.3. Densidad y gravedad . . . . .	7
<b>5. Resultados</b>	<b>9</b>
5.1. Ángulo de entrada . . . . .	9
5.2. Eficiencia aerodinámica . . . . .	10
5.3. Trayectoria . . . . .	12
5.4. Correlación con modelos analíticos . . . . .	13
<b>6. Conclusiones</b>	<b>14</b>
<b>A. Códigos empleados</b>	<b>15</b>
A.1. Vostok . . . . .	15
A.2. mision (clase) . . . . .	20
A.3. ISA . . . . .	29
<b>Bibliografía</b>	<b>32</b>

## Índice de figuras

1.	Cápsula de la misión Vostok-1 antes del lanzamiento (izquierda) y después del aterrizaje (derecha). . . . .	2
2.	Representación de las variables y sistemas de referencia que intervienen en las ecuaciones. . . . .	3
3.	Evolución de la altitud con el tiempo para tres ángulos de entrada: $3.15^\circ$ (izquierda), $5^\circ$ (centro) y $7.5^\circ$ (derecha) . . . . .	9
4.	Evolución del factor de carga según la altitud para tres ángulos de entrada: $3.15^\circ$ (izquierda), $5^\circ$ (centro) y $7.5^\circ$ (derecha) . . . . .	10
5.	Evolución del factor de carga en función de la altitud para diferentes eficiencias aerodinámicas. . . . .	10
6.	Evolución de la altitud, velocidad y ángulo de trayectoria con el tiempo para distintas eficiencias aerodinámicas. . . . .	11
7.	Trayectoria de la cápsula respecto al horizonte (arriba) y respecto a la Tierra (abajo). . . . .	12
8.	Comparación de la solución numérica con las soluciones analíticas de planeo y entrada balística según factor de carga (izquierda) y evolución de velocidades (derecha). . . . .	13

## Índice de tablas

1. Parámetros empleados en la simulación extraídos a partir de las características de la cápsula de la misión Vostok-1. . . . . 2

## 1. Introducción

Para que un vehículo sea puesto en órbita ha de alcanzar velocidades suficientemente altas como para vencer el campo gravitacional del planeta que tenga debajo. Esto significa que, a la hora de realizar una reentrada, el vehículo tendrá que perder la energía cinética anteriormente conferida y esta energía ha de perderse en forma de calor. Además, la reentrada supone una serie de aceleraciones que ha de soportar la carga de pago, que en la mayoría de casos suelen ser humanos. También ha de considerarse la trayectoria que ha de seguir el vehículo para no aterrizar en un lugar inadecuado o para poder luego ser rescatado.

Es por ello que es necesario un estudio detallado de la dinámica de la reentrada, estudio, que suele llevarse a cabo mediante la integración numérica de las ecuaciones de la dinámica. En este caso se realizará un estudio sencillo en el que se empleará un esquema de integración Runge-Kutta 4 embebido. Así mismo se comparará la solución obtenida con la predicha por los modelos analíticos de reentrada balística y en planeo. Este estudio tomará de base las características de la cápsula Vostok-1, la primera en llevar un ser humano al espacio y traerlo de vuelta. Huelga decir que el código desarrollado es capaz de realizar muchos más análisis (como por ejemplo reentradas en otros planetas con eficiencias aerodinámicas y coeficientes balísticos dependientes del ángulo de vuelo) y la iteración de sus parámetros es sencilla, por lo que se puede usar en conjunto con un algoritmo de optimización. Sin embargo, se ha seleccionado este caso a modo de ejemplo. En [1] existen otros ejemplos.

## 2. Metodología

Para la realización de este trabajo se ha hecho uso de la información facilitada a través del aula virtual y de los apuntes de la asignatura *Aerodinámica de Altas Velocidades y Fenómenos de Reentrada*, impartida en el Máster Universitario en Sistemas Espaciales (IDR-UPM).

El algoritmo de integración numérica se ha desarrollado en Python haciendo uso de librerías externas como NUMPY, para tratar con los vectores de estado y como MATPLOTLIB para obtener los gráficos deseados.

Las características de la Vostok-1 se han obtenido de [2] y se han hecho una serie de simplificaciones para un estudio más sencillo.



### 3. Vostok-1

Vostok 1 fue el primer cohete espacial del Programa Vostok y la primera misión espacial tripulada del programa espacial soviético. En ella el cosmonauta Yuri Gagarin habría de realizar un vuelo de 108 minutos a una altitud media de 315 km y con una velocidad entorno a los 7823.2 m/s (véase [3] y [4])

Al estar tripulada, a la hora de la reentrada, las máximas aceleraciones posibles a las que podía verse sometida la cápsula eran de entre 8 y 9 g, por lo que la cápsula habría de contar con una eficiencia aerodinámica mayor que cero para aliviar las aceleraciones típicas de una entrada balística. En este trabajo se analizarán diferentes valores de eficiencia aerodinámica para cumplir con este requisito.

En cuanto al coeficiente balístico la nave contaba con un peso al aterrizaje de 2400 kg lo que junto con sus 2.3 m de diámetro y un coeficiente de resistencia aerodinámica que, en vista de la geometría de la nave, que se muestra en la Figura 1, no habrá de ser muy distinto al de una esfera en régimen hipersónico. Aplicando el método de inclinación local de Newton modificado se tiene que la esfera habrá de presentar un coeficiente de resistencia entorno a 0.9197.

Por último, la simulación será llevada a cabo hasta una altitud de 7 km ya que es cuando Gagarin fue eyectado de la nave.



Figura 1: Cápsula de la misión Vostok-1 antes del lanzamiento (izquierda) y después del aterrizaje (derecha).

En la Tabla 1 se recogen los datos que serán empleados para la simulación.

Tabla 1: Parámetros empleados en la simulación extraídos a partir de las características de la cápsula de la misión Vostok-1.

Coeficiente balístico				Condiciones iniciales	
Coeficiente de resistencia aerodinámica	Diámetro [m]	Masa [kg]	Coeficiente balístico	$U_0$	7823.2 m/s
0.9197	2.3	2,400	628.0851	$\gamma_e$	Entre 3.15° y 7.5°
Eficiencia aerodinámica				$z_0$	315 km
Entre 0 y 0.5 (para no superar una carga de 9 g)				$\theta_0$	0 °

## 4. Planteamiento matemático

### 4.1. Dinámica de la reentrada

Las ecuaciones necesarias para describir el comportamiento dinámico de un vehículo en la reentrada están dados por el siguiente conjunto de ecuaciones diferenciales con una posición planteada en ejes polares y una trayectoria referenciada a ejes cuerpo (véase Figura 2):

$$\frac{du}{dt} = -g(z) \cdot \sin \gamma - D(z, u), \quad (1)$$

$$\frac{d\gamma}{dt} = \frac{1}{u} \left( L(z, u) - g(z) \cdot \cos \gamma + \frac{u^2}{r} \cdot \cos \gamma \right), \quad (2)$$

$$\frac{dr}{dt} = u \cdot \sin \gamma, \quad (3)$$

$$\frac{d\theta}{dt} = \frac{1}{r} u \cdot \cos \gamma, \quad (4)$$

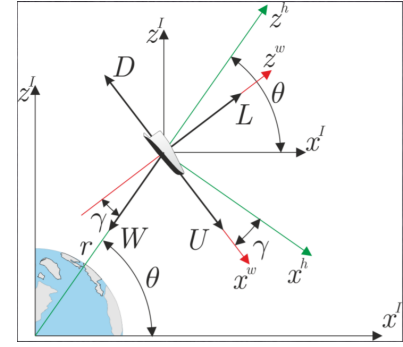


Figura 2: Representación de las variables y sistemas de referencia que intervienen en las ecuaciones.

donde  $u$  es la velocidad de vuelo,  $\gamma$  es el ángulo de trayectoria (*flying path angle*),  $r$  es la coordenada radial desde el centro de la Tierra,  $z$  es la altitud y  $\theta$  es la coordenada angular (véase Figura 2). Las funciones de densidad  $\rho(z)$  y gravedad  $g(z)$  se analizarán con más detalle en adelante. Por último, los parámetros  $L$  y  $D$  vienen dados por:

$$L(z, u) = \frac{\rho(z)u^2 E}{2\beta}, \quad (5)$$

$$D(z, u) = \frac{\rho(z)u^2}{2\beta}, \quad (6)$$

donde a su vez, los coeficientes de eficiencia aerodinámica  $E$  y balístico  $\beta$  vienen dados por:

$$\beta = \frac{m}{Sc_D}, \quad (7)$$

$$E = \frac{c_L}{c_D}. \quad (8)$$

Además se estudiarán otras variables de interés como el factor de carga:

$$n = -\frac{dU}{dt} \frac{1}{g_0} \quad (9)$$

Para la comprobación del código se hará uso de las soluciones analíticas de reentrada balística:

$$B = \frac{z_s \rho_0}{2\beta \sin \gamma_e}, \quad (10)$$

$$C = \frac{u_e^2 \rho_0}{2\beta g_0}, \quad (11)$$

$$\frac{u}{u_e} = \exp \left( B \cdot \exp \left( -\frac{z}{z_e} \right) \right), \quad (12)$$

$$n = C \cdot \exp \left( 2B \cdot \exp \left( -\frac{z}{z_e} \right) - \frac{z}{z_s} \right). \quad (13)$$

y de reentrada con sustentación:

$$\frac{u}{u_e} = \left( \sqrt{1 + \frac{ER_T \rho(z)}{2\beta}} \right)^{-1}, \quad (14)$$

$$n = \frac{1}{E} \left[ 1 - \left( \frac{u}{u_e} \right)^2 \right] = \left( \sqrt{E + \frac{2\beta \cdot \exp \left( -\frac{z}{z_e} \right)}{\rho_0 R_T}} \right)^{-1}, \quad (15)$$

donde  $u_e$ ,  $z_e$  y  $\gamma_e$  son las variables de estado a 100 km de altitud;  $g_0$  es el valor de la aceleración gravitatoria a 0 km de altitud; y  $\rho_0$  y  $z_s$  es el que corresponde al modelo exponencial de la forma:

$$\rho = \rho_0 \exp \left( -\frac{z}{z_s} \right) \quad (16)$$

## 4.2. Esquema de integración

A partir de las ecuaciones 2 a 4 se ha propuesto un esquema de integración numérica Runge-Kutta 4 embebido. Este esquema, además de proporcionar unos resultados por lo general muy precisos y con rapidez, varía el paso temporal de manera que el error cometido por el mallado se sitúe por debajo de un error establecido. El esquema Runge-Kutta 4 consiste en:

```
1  def RK4(self,Dt,Y):
2
3      F = self.F
4
5      K1 = F(Y)
6      K2 = F(Y+Dt/2 * K1)
7      K3 = F(Y+Dt/2 * K2)
8      K4 = F(Y+Dt * K3)
9
10     return Y + Dt/6 * (K1+2*K2+2*K3+K4)
```

donde la función  $F$  viene determinada por las ecuaciones de la reentrada:

```
1  def F(self,Y):
2
3      u      = Y[0]
4      gamma  = Y[1]
5      r      = Y[2]
6      theta  = Y[3]
7
8      z = r-self.RT
9
10     g      = self.g_fun(z)
11     rho     = self.rho_fun(z)
12     beta_val = self.beta(gamma)
13     E_val   = self.E(gamma)
14
15     eqns = [-g*sin(gamma)-rho/(2*beta_val) * u**2,
16             1/u * (u**2 * (rho*E_val/(2*beta_val) + cos(gamma)/r) - g*cos(gamma)),
17             u*sin(gamma),
18             1/r * u*cos(gamma)]
19
20     return np.array(eqns)
```

El salto temporal necesario se calcula a partir del error de truncamiento local y el orden del esquema:

```
1      # Cálculo del siguiente estado
2      Y1 = RK4(Dt,Y)
3      Y21 = RK4(Dt/2,Y)
4      Y2 = RK4(Dt/2,Y21)
5
6      # Cálculo del error
7      err = Y1-Y2
8      err[0] = err[0]
9      err[1] = tan(err[1]/2)*1e3 # Los errores angulares se penalizan más
10     err[2] = err[2]
11     err[3] = tan(err[3]/2)*1e3
12     mag = np.sqrt(err.dot(err))
13     if mag < 1e-12:
14         Dt_new = 1e12
15     else:
16         Dt_new = Dt*(self.epsilon/mag)**(1/(4+1))
```

El error se obtiene de la diferencia entre la solución y la solución obtenida con un mallado el doble de fino. Como se puede observar, los errores asociados al ángulo están penalizados con mayor severidad ya que resultan mucho más críticos.

Si el salto temporal necesario calculado es menor al del paso dado se repite el cálculo con un salto más pequeño. Si por el contrario el salto temporal ha sido demasiado grande se aumenta en 0.01 s para el siguiente paso de integración.

```
1      if Dt <= Dt_new:
2          Y = Y1
3          dY = F(Y)
4          t = t+Dt
5          k = k+1
6          self.y = np.vstack([self.y,Y])
7          self.dy = np.vstack([self.dy,dY])
8          self.t = np.append(self.t,t)
9
10         Dt = Dt+0.01
11     elif Dt > Dt_new:
12         Dt = Dt_new
13     else:
14         Dt = 0.1
```

Así se tiene un esquema rápido en los tramos de menor complejidad numérica y preciso en aquellas zonas donde se necesita. El error máximo admisible se puede especificar mediante:

```
1 Vostok = mision()
2 Vostok.epsilon = 0.1
```

La condición de parada por defecto es altitud nula pero se puede especificar mediante la coordenada radial o la temporal. Si la cápsula se sitúa por encima de 100 km de su altitud inicial el programa determina que ha rebotado y se para.

```
1 Vostok = mision()
2 u, gamma, r, theta = Vostok.reentrada([Ue,gamma_e,z0,theta0],rfin=Vostok.RT+7e3)
3 u1,gamma1,r1,theta1 = Vostok.reentrada([Ue,gamma_e,z0,theta0],tfin=1200)
```

En caso de que las iteraciones conduzcan a un número demasiado grande de pasos la simulación se detiene. Este número de pasos máximos se puede modificar

```
1 Vostok = mision()
2 Vostok.k_lim = 1e5
```

### 4.3. Densidad y gravedad

La atmósfera juega un papel crucial a la hora de determinar el comportamiento de la cápsula en la reentrada y además esta puede ser muy cambiante. Es por ello que el código desarrollado permite incluir cualquier función de la densidad en función de la altura mediante la modificación de los atributos “g\_fun” y “rho\_fun”:

```
1 Vostok = mision()
2 from isa import isa_rho
3 Vostok.rho_fun = isa_rho
4 Vostok.g_fun = lambda z: 9.8 * (6.371e6/(z+6.371e6))**2
```

Las funciones predeterminadas del código son:

```
1 def G(self,z):
2
3     g0 = self.g0
4     RT = self.RT
5     g = g0 * (RT/(z+RT))**2
6
7     return g
8
```

```
9     def RH0(self,z):
10
11         RT = self.RT
12         if z <= 150e3: #m
13             rho0 = 1.225 #kg/m^3
14             z0 = 7.524e3 #m
15         elif z> 150e3: #m
16             rho0 = 3.875e-9 #kg/m^3
17             z0 = 59.06e3 #m
18
19         try:
20             rho = rho0 * exp(-z/z0)
21         except:
22             rho = 1000 #kg/m^3
23         return rho
```

En A.3 se muestra el código empleado para la modelización de la atmósfera. Sin embargo, estudios más detallados necesitarán de modelos dinámicos atmosféricos los cuales no pueden ser implementados en el código actual a no ser que se conozca la velocidad de la cápsula en función de la altura y se use la altitud como parámetro de entrada o se modifique ligeramente el código A.2 allá donde se haga la llamada a “self.rho\_fun” y “self.g\_fun” especificando la entrada de las variables deseadas, por ejemplo:

```
1 # rho = self.rho_fun(z)
2 rho = self.rho_fun(z,u)
```

## 5. Resultados

### 5.1. Ángulo de entrada

A la hora de determinar la eficiencia aerodinámica solo ciertos valores de  $\gamma_0$  conducen a una reentrada satisfactoria. Si el valor de  $\gamma_0$  es demasiado alto, la nave se precipitará con mucha velocidad sobre la Tierra y probablemente se desintegrará en la atmósfera. Si por el contrario el ángulo es demasiado pequeño la cápsula rebotará.

En la Figura 3 se muestra la influencia que tiene el ángulo  $\gamma$  sobre la evolución de la altitud de distintas cápsulas con distintas eficiencias aerodinámicas. Como se puede observar para un ángulo de unos  $3.15^\circ$  la cápsula es muy susceptible de rebotar por lo que se debe escoger un ángulo algo mayor a este valor.

En la Figura 4 se muestra el factor de carga máximo que alcanzan dichas cápsulas en función de la altitud para distintos ángulos de entrada. Como se puede observar, para valores de  $\gamma$  mayores a  $5^\circ$  resulta especialmente difícil acotar las aceleraciones máximas por debajo de lo que el cosmonauta es capaz de resistir.

En vista de los resultados obtenidos se ha seleccionado un ángulo de reentrada de  $5^\circ$  ya que proporciona aceleraciones acotadas dentro de lo establecido para casi todas las eficiencias (de forma que un fallo en el control de actitud no se convierte en un fallo crítico) y se aleja de el ángulo de reentrada crítico lo suficiente como para asumir cierta incertidumbre respecto a esta medida.

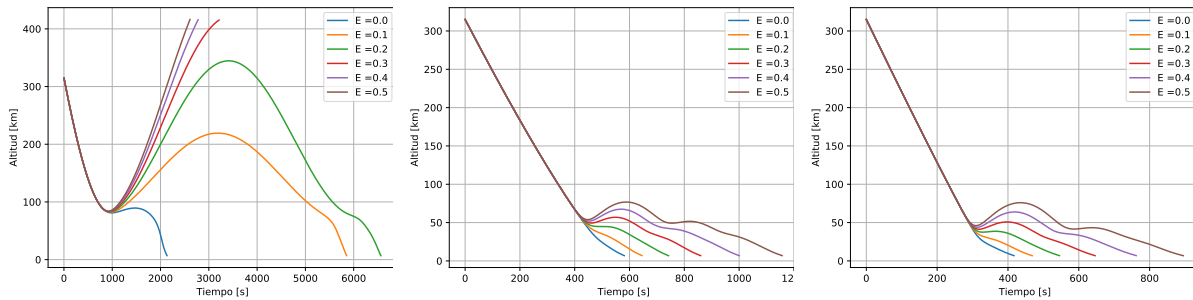


Figura 3: Evolución de la altitud con el tiempo para tres ángulos de entrada:  $3.15^\circ$ (izquierda),  $5^\circ$ (centro) y  $7.5^\circ$ (derecha)



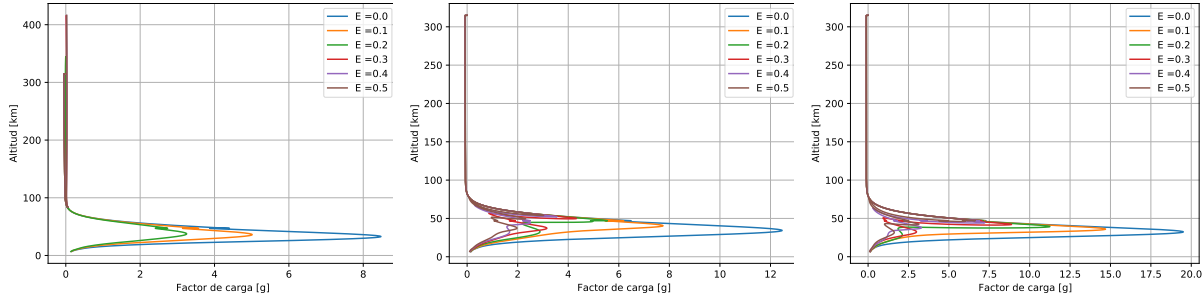


Figura 4: Evolución del factor de carga según la altitud para tres ángulos de entrada:  $3.15^\circ$  (izquierda),  $5^\circ$  (centro) y  $7.5^\circ$  (derecha)

## 5.2. Eficiencia aerodinámica

Como se puede observar en la Figura 5 eficiencias aerodinámicas más altas conducen a unas aceleraciones menores. Sin embargo, hay que tener en cuenta otros factores como la geometría de la cápsula o el tiempo y distancia necesarios para el aterrizaje por lo que se habrá de realizar la selección de la eficiencia teniendo en consideración dichos factores.

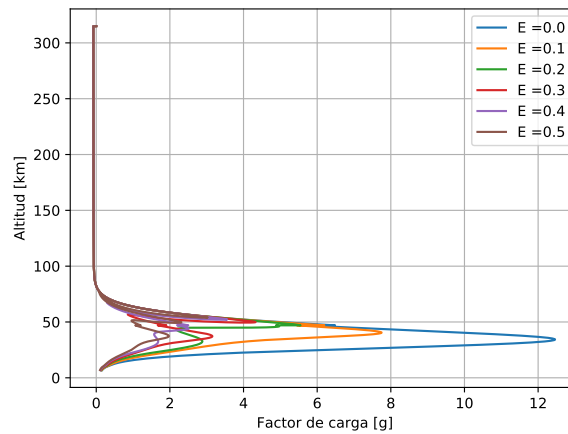


Figura 5: Evolución del factor de carga en función de la altitud para diferentes eficiencias aerodinámicas.

En primer lugar se han determinado la evolución en función del tiempo de las variables de estado, los resultados obtenidos se representan en la Figura 6. Como se puede observar mayores eficiencias conducen también a mayores tiempos de reentrada lo cual podría ser perjudicial para el piloto. Es por ello que se escoge la menor eficiencia aerodinámica que asegure la supervivencia el tripulante. En este caso se selecciona  $E = 0.1$  ya que aunque se podría tratar de buscar un valor más ajustado, al tratarse de una misión tripulada se prefiere disponer de cierto margen de seguridad.

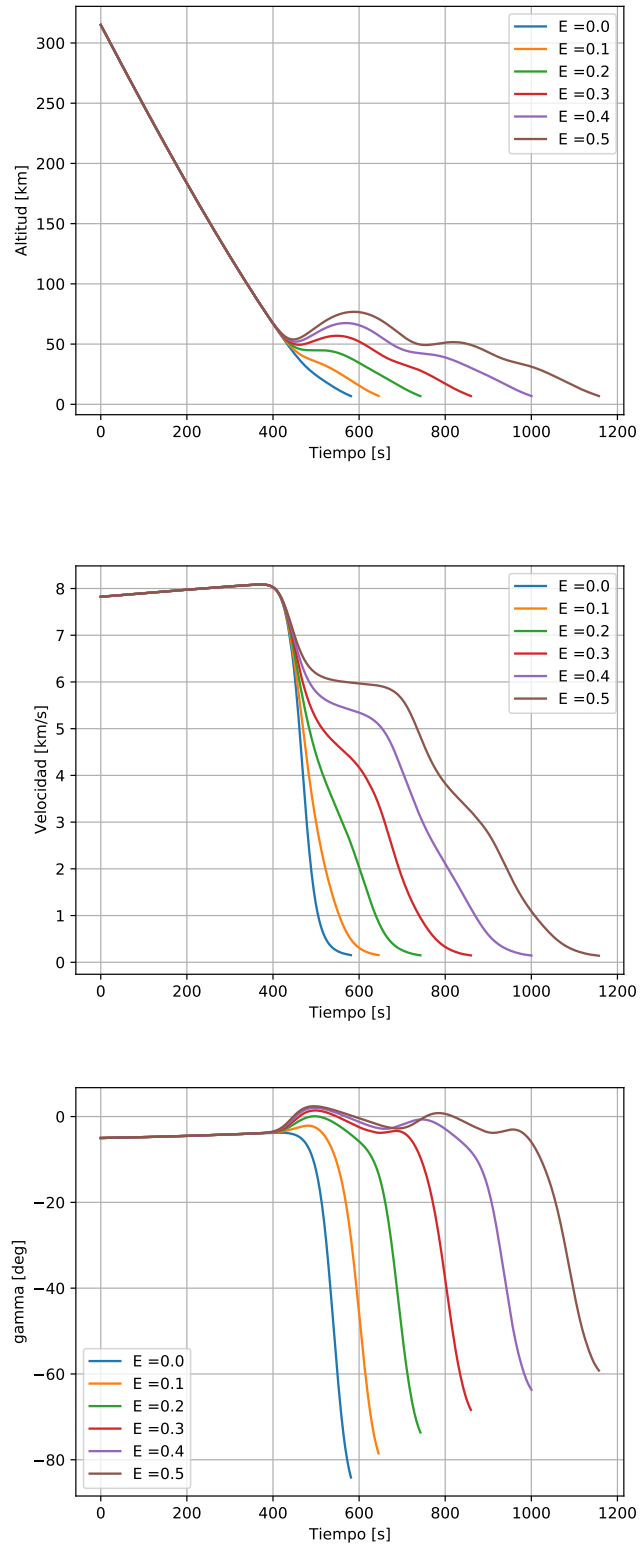


Figura 6: Evolución de la altitud, velocidad y ángulo de trayectoria con el tiempo para distintas eficiencias aerodinámicas.

### 5.3. Trayectoria

Una vez escogidos el ángulo y la eficiencia se ha de determinar con la mayor exactitud posible el lugar de aterrizaje puesto que puede comprometer a la población y el piloto ha de ser rescatado (ambas consideraciones no se tuvieron en cuenta o los cálculos fallaron durante el desarrollo de la misión ya que Gagarin aterrizó en mitad de una granja colectiva y la cápsula a unos 26 km del cosmonauta [?]). En la Figura 7 se analiza la ruta que la cápsula habría de seguir según las ecuaciones de la dinámica de reentrada (nótese que dichas ecuaciones son válidas para flujo hipersónico y que durante las últimas etapas de vuelo la cápsula ha decelerado suficiente como para abandonar este régimen).

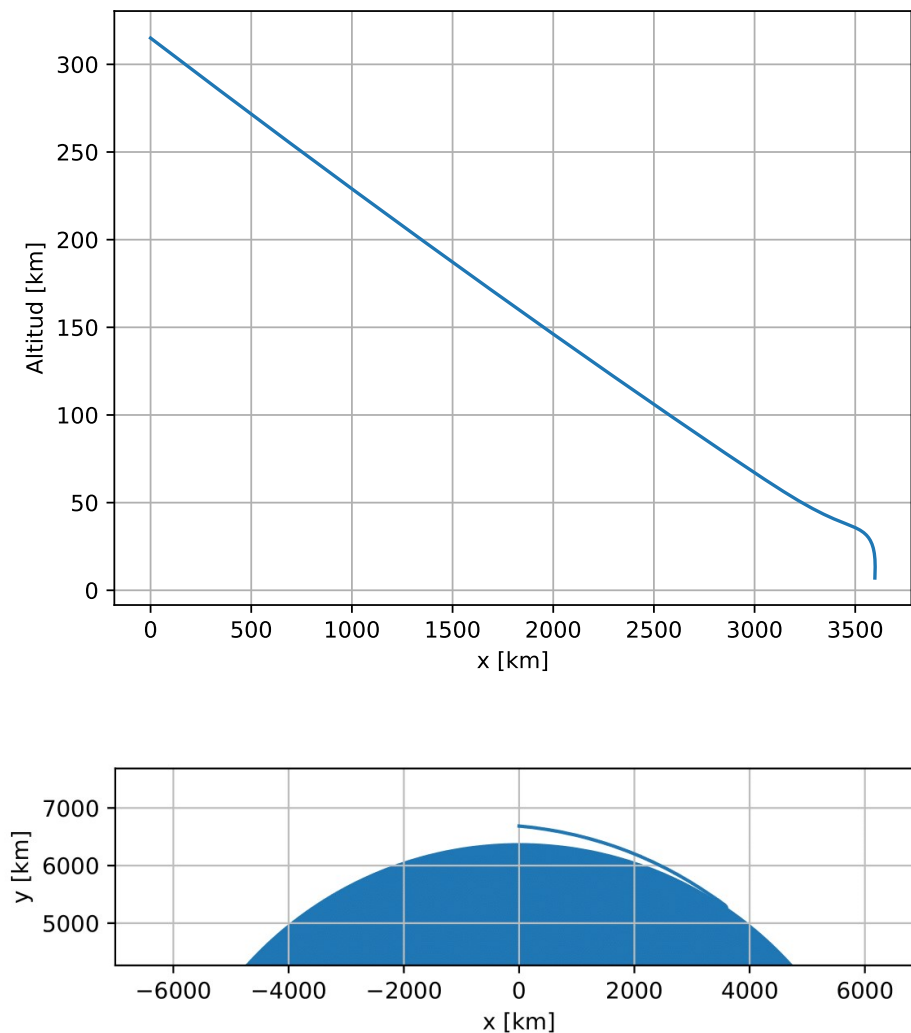


Figura 7: Trayectoria de la cápsula respecto al horizonte (arriba) y respecto a la Tierra (abajo).

#### 5.4. Correlación con modelos analíticos

Por último los resultados obtenidos se comparan con las soluciones analíticas de reentrada balística y en planeo. Si el estudio ha sido correcto es de esperar que la solución se encuentre cercana a ambas soluciones. En la Figura 8 se representan gráficamente las soluciones analíticas y la numérica. Como se puede ver las tres soluciones son bastante similares pero en el caso del factor de carga se hace patente el comportamiento de fugoide de la cápsula, es decir, que a la hora de atravesar la atmósfera la cápsula puede acumular cierta energía potencial que la impulse de nuevo hacia arriba antes de volver a bajar. Este comportamiento es similar al del rebote pero con una amplitud mucho menor. En la evolución de la Figura 6 se puede ver que cápsulas con mayores eficiencias aerodinámicas presentan este comportamiento oscilatorio de un modo mucho más acusado.

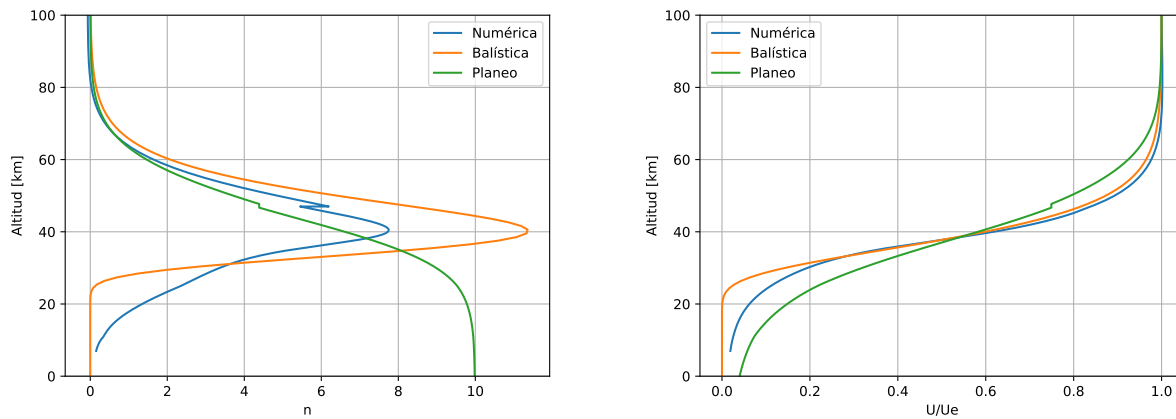


Figura 8: Comparación de la solución numérica con las soluciones analíticas de planeo y entrada balística según factor de carga (izquierda) y evolución de velocidades (derecha).

## 6. Conclusiones

Del trabajo realizado se extraen las siguientes conclusiones:

- Es necesario un estudio detallado de las condiciones de la reentrada para asegurar el correcto desarrollo de la misión. Como se puede ver en las Figuras 3 y 4 la ventana de valores posibles de ángulo de reentrada es harto estrecha y puede conducir a situaciones que comprometan la misión. Finalmente se ha elegido para este estudio un ángulo de reentrada de  $5^\circ$ .
- La eficiencia aerodinámica juega un papel clave a la hora de determinar la trayectoria de la reentrada y las cargas máximas, en este caso se han ensayado valores entre 0 y 0.5 pues en el desarrollo de la misión Vostok-1 ([2]) se contemplaron valores en este rango ya que la cápsula tiene forma esférica.
- Del estudio de la eficiencia aerodinámica se ha decidido escoger un valor de 0.1 ya que presenta aceleraciones dentro de lo admisible sin suponer un tiempo de vuelo demasiado grande. Esta última conclusión se extrae de la Figura 6
- La simulación numérica ha sido contrastada con las soluciones analíticas de entrada en planeo y entrada balística con un resultado satisfactorio como es patente en la Figura 8

En posteriores estudios habría de tenerse en cuenta también la evolución de la eficiencia y el coeficiente balístico a medida que se realiza el descenso, pues el ángulo de ataque cambia si no se ve corregido y la nave se va liberando de peso a medida que baja. En las últimas etapas habrían de aplicarse otras ecuaciones acordes con el régimen aerodinámico en curso y para el aterrizaje se tendrían que incluir el efecto de los paracaídas y las trayectorias de la nave y del cosmonauta el cual fue eyectado a 7 km de altura. Este tipo de modificaciones se podrían realizar de forma sencilla sobre el código introduciendo las debidas dependencias en el método "F" de la clase "mision" ya que el esquema puede adaptar el salto temporal de manera que en la discontinuidad no se produzcan saltos demasiado bruscos en la solución pero haría de prestarse especial cuidado a la estabilidad de la ecuación para no llegar a soluciones espurias.

## A. Códigos empleados

A continuación se muestran los códigos empleados para las simulaciones descritas anteriormente. Estos códigos se encuentran disponibles también en [1].

### A.1. Vostok

Se ha desarrollado un código a modo de ejemplo que usa características de la cápsula de la misión Vostok-1.

```
1 from mision_class import mision, save_result, read_result
2 from numpy import rad2deg, deg2rad, cos, sin
3 import numpy as np
4
5 # Representaciones gráficas
6 import matplotlib.pyplot as plt
7 import os
8
9 # Directorio de imágenes
10 figures_dir = './Figures/Vostok/'
11 if not os.path.exists(figures_dir):
12     os.makedirs(figures_dir)
13
14 # Reentrada de la cápsula Vostok 1
15 Vostok = mision()
16
17 # Coeficiente balístico y eficiencia según el ángulo de vuelo
18 Vostok.beta = lambda gamma: 628.0851
19
20 # Densidad ISA
21 from isa import isa_rho
22 Vostok.rho_fun = isa_rho
23
24 # Reentrada
25
26 Ue      = 7.8232e3
27 gamma_e = deg2rad(-5)
28 z0      = 315e3
29 theta0  = 0
```

```
30
31 Vostok.verbose = 100 # Cada cuantas iteraciones hace display
32 Vostok.epsilon = 0.01 # Error admisible
33
34 # Estudio de la eficiencia aerodinámica necesaria
35
36 Eficiencias = np.linspace(0,0.5,6)
37 #Eficiencias = [0,0.2,0.4,0.6,0.8,0.9,1]
38
39 nmax_list = []
40 for Eficiencia in Eficiencias:
41     Vostok.E = lambda gamma: Eficiencia
42     Vostok.reentrada([Ue,gamma_e,z0,theta0],rfin=Vostok.RT+7e3)
43     save_result('Vostok'+str(round(Eficiencia*100))+'.t',Vostok.t)
44     save_result('Vostok'+str(round(Eficiencia*100))+'.y',Vostok.y)
45     save_result('Vostok'+str(round(Eficiencia*100))+'.dy',Vostok.dy)
46     nmax_list.append(Vostok.nmax)
47
48 fig = plt.figure()
49 legends = []
50 for Eficiencia in Eficiencias:
51     y = read_result('Vostok'+str(round(Eficiencia*100))+'.y')
52     dy = read_result('Vostok'+str(round(Eficiencia*100))+'.dy')
53     plt.plot(-dy[:,0]/Vostok.g0,(y[:,2]-Vostok.RT)/1e3)
54     legends.append('E ='+str(round(Eficiencia,3)))
55 plt.xlabel('Factor de carga [g]')
56 plt.ylabel('Altitud [km]')
57 plt.grid()
58 plt.legend(legends)
59 plt.savefig(figures_dir+'Estudio_eficiencia.pdf')
60 plt.close()
61
62 ## Estudio de las soluciones a posteriori
63
64 altura_tiempo = 'yes'
65 velocidad_tiempo = 'yes'
66 gamma_tiempo = 'yes'
67 trayectorias = 'yes'
```

```
68
69 if altura_tiempo == 'yes':
70     fig = plt.figure()
71     for Eficiencia in Eficiencias:
72         t = read_result('Vostok'+str(round(Eficiencia*100))+ 't')
73         y = read_result('Vostok'+str(round(Eficiencia*100))+ 'y')
74         dy = read_result('Vostok'+str(round(Eficiencia*100))+ 'dy')
75         plt.plot(t, (y[:,2]-Vostok.RT)/1e3)
76         legends.append('E =' +str(round(Eficiencia,3)))
77     plt.xlabel('Tiempo [s]')
78     plt.ylabel('Altitud [km]')
79     plt.grid()
80     plt.legend(legends)
81     plt.savefig(figures_dir+'Altitud.pdf')
82     plt.close()
83
84 if velocidad_tiempo == 'yes':
85     fig = plt.figure()
86     for Eficiencia in Eficiencias:
87         t = read_result('Vostok'+str(round(Eficiencia*100))+ 't')
88         y = read_result('Vostok'+str(round(Eficiencia*100))+ 'y')
89         dy = read_result('Vostok'+str(round(Eficiencia*100))+ 'dy')
90         plt.plot(t, (y[:,0])/1e3)
91         legends.append('E =' +str(round(Eficiencia,3)))
92     plt.xlabel('Tiempo [s]')
93     plt.ylabel('Velocidad [km/s]')
94     plt.grid()
95     plt.legend(legends)
96     plt.savefig(figures_dir+'Velocidad.pdf')
97     plt.close()
98
99 if gamma_tiempo == 'yes':
100     fig = plt.figure()
101     for Eficiencia in Eficiencias:
102         t = read_result('Vostok'+str(round(Eficiencia*100))+ 't')
103         y = read_result('Vostok'+str(round(Eficiencia*100))+ 'y')
104         dy = read_result('Vostok'+str(round(Eficiencia*100))+ 'dy')
105         plt.plot(t, rad2deg(y[:,1]))
```



```
106         legends.append('E =' +str(round(Eficiencia,3)))
107     plt.xlabel('Tiempo [s]')
108     plt.ylabel('gamma [deg]')
109     plt.grid()
110     plt.legend(legends)
111     plt.savefig(figures_dir+'gamma.pdf')
112     plt.close()
113
114 if trayectorias == 'yes':
115     fig = plt.figure()
116     for Eficiencia in Eficiencias:
117         t = read_result('Vostok'+str(round(Eficiencia*100))+ 't')
118         y = read_result('Vostok'+str(round(Eficiencia*100))+ 'y')
119         dy = read_result('Vostok'+str(round(Eficiencia*100))+ 'dy')
120         x = y[:,2]*sin(y[:,3])/1e3
121         plt.plot(x, (y[:,2]-Vostok.RT)/1e3)
122         legends.append('E =' +str(round(Eficiencia,3)))
123     plt.xlabel('x [km]')
124     plt.ylabel('Altitud [km]')
125     plt.grid()
126     plt.legend(legends)
127     plt.savefig(figures_dir+'trayectorias.pdf')
128     plt.close()
129
130
131 ## Trayectoria de la reentrada seleccionada
132
133 trayectoria          = 'yes'
134
135 index = nmax_list.index(max([value for index,value in enumerate(nmax_list) if value <
136     8]))
137 print('')
138 print('***')
139 print('La eficiencia seleccionada es:',Eficiencias[index])
140 print('Esto supone una aceleración de:',nmax_list[index], 'g')
141 print('***')
142 print('')
```

```
143 Vostok.E = lambda gamma: Eficiencias[index]
144 Vostok.reentrada([Ue,gamma_e,z0,theta0],rfin=Vostok.RT+7e3)
145
146 import matplotlib.image as image
147 import matplotlib.patches as patches
148
149 if trayectoria == 'yes':
150     x = Vostok.r*sin(Vostok.theta)/1e3
151     y = Vostok.r*cos(Vostok.theta)/1e3
152
153     fig = plt.figure()
154     plt.plot(x,Vostok.altitud/1e3)
155     plt.grid()
156     plt.xlabel('x [km]')
157     plt.ylabel('Altitud [km]')
158     plt.savefig(figures_dir+'Trayectoria.pdf')
159     plt.close()
160
161     fig, ax = plt.subplots()
162
163     Tierra = plt.Circle((0, 0), Vostok.RT/1e3, color='tab:blue')
164     ax.add_patch(Tierra)
165     plt.plot(x,y)
166     plt.grid()
167     #ax.set_xlim(min(x)-1e3,max(x)+1e3)
168     ax.set_ylim(min(y)-1e3,max(y)+1e3)
169     ax.set_aspect('equal', 'box')
170     plt.xlabel('x [km]')
171     plt.ylabel('y [km]')
172     plt.savefig(figures_dir+'Trayectoria_planeta.pdf')
173     plt.close()
174
175 ## Correlación de la reentrada seleccionada
176
177 Vostok.reentrada_analitica([Ue,gamma_e,z0,theta0])
```

## A.2. mision (clase)

Este código contiene la clase “mision”

- Atributos:

Las funciones “beta(gamma)” y “E(gamma)”

Las constantes relacionadas con el planeta: “RT”, “g0”, “mu” (por defecto los de la Tierra)

Las funciones “rho\_fun(z)” y “g\_fun(z)” que pueden ser lambda function, funciones definidas en el código o cualquier función externa, siempre y cuando devuelvan un escalar (por defecto son un modelo exponencial de densidad y la gravedad newtoniana)

El error admisible “epsilon” (por defecto 0.1)

- Métodos:

reentrada([u0,gamma0,r0,theta0],rfin = 6.371e6,tfin = ”)

Devuelve: u, gamma, r, theta

Además guarda como atributos: u, gamma, r, altitud, theta, t y n

reentrada\_analitica([u0,gamma0,r0,theta0])

Crea y guarda las imágenes de compartiva: U/Ue vs z y n vs z

```
1 from math import exp, log, sin, cos, tan, pi
2 import numpy as np
3 from numpy import deg2rad, rad2deg
4 from numpy import genfromtxt
5 import os
6
7 # Directorio de imágenes
8 figures_dir = './Figures/'
9 if not os.path.exists(figures_dir):
10     os.makedirs(figures_dir)
11
12 # Para guardar los resultados en un csv
13 def save_result(name,result):
14     results_dir = './Results/' # Ruta
15     if not os.path.exists(results_dir):
16         os.makedirs(results_dir)
17     np.savetxt(results_dir+str(name)+'.csv', result, delimiter=',', fmt='%s')
```

```
18
19 # Para leer los resultados de un csv
20 def read_result(name):
21     results_dir = './Results/' # Ruta
22     if not os.path.exists(results_dir):
23         print('No existe la carpeta de resultados ./Results')
24     my_data = genfromtxt(results_dir+str(name)+'.csv', delimiter=',')
25     return my_data
26
27 class mision():
28
29     # Constructor
30     def __init__(self, beta= lambda gamma: 64, E = lambda gamma: 0.01):
31
32         # Características del vehículo
33         self.beta = beta # Coeficiente balístico, por defecto es una función
34                           constante
35         self.E = E # Eficiencia aerodinámica, por defecto es una función
36                           constante
37
38         # Constantes
39
40         self.RT = 6.371e6 #m # Radio del planeta
41         self.g0 = 9.81 #m/ s # Gravedad a nivel de superficie
42         self.mu = 3.986 #m s-2 # Constante gravitacional
43
44         # Gravedad y atmósfera
45         # Si no se modifican se usan las predeterminadas
46
47         self.rho_fun = self.RHO
48         self.g_fun = self.G
49
50         #
51         self.epsilon = 0.1
52         self.verbose = 500 #Pasos con output
53         self.k_lim = 1e5 # Máximos pasos
54         self.alt_flag = 1
55         self.plt_flag = 1
```

```
54
55 # Ecuaciones de reentrada según esquema numérico
56 def reentrada(self,Y0,rfin = 6.371e6,tfin = ''):
57
58     print('*** Simulación en curso ***')
59
60     # Si la distancia inicial es menor que el radio de la Tierra se asume que es
        un dato de altitud
61     if Y0[2] <= self.RT and self.alt_flag == 1: Y0[2] = Y0[2] + self.RT
62     print('')
63     print('Se ha asumido que la condición inicial de distancia al centro de la
        Tierra es la altitud inicial')
64     print(' Para desactivar esta opción modifique el booleano alt_flag')
65     print(' >> reentrada.alt_flag = 0')
66
67     # Criterio de parada
68     print('')
69     if rfin == 6.371e6 and tfin == '':
70         print('La simulación será llevada a cabo hasta llegar al nivel del mar
        terrestre')
71         print(' Para establecer otra altitud de parada a ada un argumento rfin')
72         print(' >> reentrada(self,Dt,Y0,rfin = 11e6)')
73         print(' Para establecer un tiempo de parada a ada un argumento tfin')
74         print(' >> reentrada(self,Dt,Y0,tfin = 42000)')
75
76     print('')
77     self.embedded_RK4(Y0,rfin,tfin)
78     print('*** Simulación finalizada ***')
79
80     self.u          = self.y[:,0]
81     self.gamma      = self.y[:,1]
82     self.r          = self.y[:,2]
83     self.altitud    = self.y[:,2] - self.RT
84     self.theta      = self.y[:,3]
85     self.n          = -self.dy[:,0] / self.g0
86     self.nmax       = self.n.max()
87     print('Máxima carga alcanzada n=',self.nmax,'g')
88
```

```
89         return self.u, self.gamma, self.r, self.theta
90
91     # Soluciones analíticas para comparar, crea las figuras directamente
92     def reentrada_analitica(self, Y0=[7e3, -10, 100e3, 0]):
93
94         rho0 = self.RH0(0)
95         zs = -1/log(self.RH0(1)/rho0)
96
97         g0 = self.g0
98         mu = self.mu
99         RT = self.RT
100        beta_val = self.beta(0)
101        E_val = self.E(0)
102
103        # Representación gráfica
104        print('')
105        print('Se representará graficamente la solución numérica frente a las analí
          tica')
106        print(' Para desactivar esta opción modifique el booleano plt_flag')
107        print(' >> reentrada.plt_flag = 0')
108        if self.plt_flag == 1:
109            import matplotlib.pyplot as plt
110            if hasattr(self, 'u'):
111                altitud = self.altitud.tolist()
112                u = self.u
113                index = altitud.index(min([value for index, value in enumerate(self.
          altitud) if value > 100e3]))
114                z0 = self.altitud[index]
115                ue = self.u[index]
116                gamma_e = self.gamma[index]
117                z = np.linspace(0, z0, 100)
118                n = self.n
119
120                print('Ue =', ue/1e3, 'km/s')
121                print('gamma_e =', rad2deg(gamma_e), 'deg')
122                print('z0 =', z0/1e3, 'km')
123                print('rho0 =', rho0, 'kg/m^3')
124                print('zs =', zs/1e3, 'km')
```

```
125         else:
126             print('** Error: Corra primero la simulación numérica')
127             exit()
128
129         b = zs*rho0/(2*beta_val*sin(gamma_e))
130         c = ue**2*rho0/(2*beta_val*g0)
131
132         self.u_numerica      = u/ue
133         self.u_balistica     = np.exp( b * np.exp(-z/zs) )
134         self.u_planeo        = np.empty((0,1))
135         for zz in z:
136             self.u_planeo= np.append(self.u_planeo,(1+E_val/beta_val * self.
137                                     rho_fun(zz)*RT/2)**-0.5)
138
139         self.n_numerica      = n
140         self.n_balistica     = c * np.exp(2*b*np.exp(-z/zs)-z/zs)
141         self.n_planeo        = 1/E_val * (1-(self.u_planeo)**2)
142
143         # U/Ue vs Z
144         fig = plt.figure()
145         plt.plot(self.u_numerica,self.altitud/1e3)
146         plt.plot(self.u_balistica,z/1e3)
147         plt.plot(self.u_planeo,z/1e3)
148         plt.xlabel('U/Ue')
149         plt.ylabel('Altitud [km]')
150         plt.ylim([0, 100])
151         plt.legend(['Numérica','Balística','Planeo'])
152         plt.grid()
153         plt.savefig(figures_dir+'u_analitica.pdf')
154         plt.close()
155
156         # n vs z
157         fig = plt.figure()
158         plt.plot(self.n_numerica,self.altitud/1e3)
159         plt.plot(self.n_balistica,z/1e3)
160         plt.plot(self.n_planeo,z/1e3)
161         plt.xlabel('n')
162         plt.ylabel('Altitud [km]')
163         plt.ylim([0, 100])
```

```
162         plt.legend(['Numérica', 'Balística', 'Planeo'])
163         plt.grid()
164         plt.savefig(figures_dir+'n_analitica.pdf')
165         plt.close()
166
167     ## Esquemas numéricos
168
169     def embedded_RK4(self, Y0, rfin, tfin):
170
171         # Paso inicial
172         Dt = 0.1
173
174         # Condiciones iniciales
175         Y = Y0
176         t = 0
177
178         # Ecuaciones y el solver RK4
179         F = self.F
180         RK4 = self.RK4
181
182         # Vectores de estado, resultados
183         self.y = np.array(Y)
184         self.dy = np.array([0, 0, 0, 0])
185         self.t = np.array(t)
186
187         k = 1
188         last_print = 0
189
190         print('Iteracion:', 0, '// Dt =', '.3e.format(Dt), '// Altitud:', round((Y[2]-self
191             .RT)/1e3, 3), 'km // Tiempo:', 0, 's')
192
193         # Criterio de parada espacial
194         while Y[2] >= rfin:
195
196             # Criterio de parada temporal
197             if isinstance(tfin, float):
198                 if t >= tfin: break
199
200             # Cálculo del siguiente estado
```



```
199     Y1 = RK4(Dt,Y)
200     Y21 = RK4(Dt/2,Y)
201     Y2 = RK4(Dt/2,Y21)
202
203     # Cálculo del error
204     err = Y1-Y2
205     err[0] = err[0]
206     err[1] = tan(err[1]/2)*1e3 # Los errores angulares se penalizan más
207     err[2] = err[2]
208     err[3] = tan(err[3]/2)*1e3
209     mag = np.sqrt(err.dot(err))
210     if mag < 1e-12:
211         Dt_new = 1e12
212     else:
213         Dt_new = Dt*(self.epsilon/mag)**(1/(4+1))
214
215     Dt_old = Dt
216
217     if Dt <= Dt_new: # El paso de tiempo ha sido correcto y se usa la iteració
218         n
219         Y = Y1
220         dY = F(Y)
221         t = t+Dt
222         k = k+1
223         self.y = np.vstack([self.y,Y])
224         self.dy = np.vstack([self.dy,dY])
225         self.t = np.append(self.t,t)
226
227         Dt = Dt+0.01 # Para la siguiente vez se aumenta el paso
228     elif Dt > Dt_new: # El paso de tiempo era insuficiente y se
229         repite la iteración
230         Dt = Dt_new
231     else: # Algún problema ha sucedido a la hora de
232         calcular Dt_new
233         Dt = 0.1
234
235     # Criterio de parada Dt extremadamente peque o
236     if Dt < 1e-28:
```

```
234         print('Imposible dar el siguiente paso')
235         break
236
237     # Criterio de parada rebote
238     if Y[2] > Y0[2] + 100e3:
239         print('La cápsula ha rebotado')
240         break
241
242     # Criterio de parada por número de pasos
243     if k >= self.k_lim:
244         print('Número máximo de pasos alcanzado')
245         break
246
247     # Report de las iteraciones
248     if k % self.verbose == 0 and k != last_print:
249         print('Iteracion:', k, '// Dt =', '.3e'.format(Dt_old), '// Altitud:',
250               round((Y[2] - self.RT) / 1e3, 3), 'km // Tiempo:', round(t, 3), 's')
251         last_print = k
252
253 def RK4(self, Dt, Y):
254
255     F = self.F
256
257     # Runge Kutta 4
258     K1 = F(Y)
259     K2 = F(Y + Dt / 2 * K1)
260     K3 = F(Y + Dt / 2 * K2)
261     K4 = F(Y + Dt * K3)
262
263     return Y + Dt / 6 * (K1 + 2 * K2 + 2 * K3 + K4)
264
265 # Ecuaciones de la dinámica de reentrada
266 def F(self, Y):
267
268     u      = Y[0]
269     gamma  = Y[1]
270     r      = Y[2]
```

```
271     theta    = Y[3]
272
273     z = r-self.RT
274
275     g          = self.g_fun(z)
276     rho         = self.rho_fun(z)
277     beta_val    = self.beta(gamma)
278     E_val       = self.E(gamma)
279
280     eqns = [-g*sin(gamma)-rho/(2*beta_val) * u**2,
281             1/u * (u**2 * (rho*E_val/(2*beta_val) + cos(gamma)/r) - g*cos(gamma)),
282             u*sin(gamma),
283             1/r * u*cos(gamma)]
284
285     return np.array(eqns)
286
287     ## Funciones de gravedad y densidad
288
289     def G(self,z):
290
291         g0 = self.g0
292         RT = self.RT
293         g = g0 * (RT/(z+RT))**2
294
295         return g
296
297     def RH0(self,z):
298
299         RT = self.RT
300         if z <= 150e3: #m
301             rho0 = 1.225 #kg/m^3
302             z0 = 7.524e3 #m
303         elif z > 150e3: #m
304             rho0 = 3.875e-9 #kg/m^3
305             z0 = 59.06e3 #m
306
307         try:
308             rho = rho0 * exp(-z/z0)
```

```
309     except:
310         rho = 1000 #kg/m^3
311     return rho
```

### A.3. ISA

Uno de los modelos de atmósfera más comunes, dentro de los modelos estáticos es el que se conoce como ISA (Internetal Standart Atmosphere) y este ha sido el modelo usado para determinar la densidad en función de la altura.

```
1  from math import exp
2
3  def isa_altitude(h, F10 = 330, Ap = 0):
4
5      # h en metros
6      # P en Pascales
7      # rho en kg/m^3
8      # T en Kelvin
9
10     g = 9.81 #m/s^2
11     M = 28.9e-3 #kg/mol
12     R = 287
13     T0 = 288.15 #K
14     P0 = 101325 #Pa
15     rho0 = 1.225 #kg/m^3
16
17     if h < 11000:
18         landa = -6.5e-3
19         T = T0 + landa*h
20         P = P0* (T/T0)**(-g/(R*landa))
21         rho = rho0 * (T/T0)**(-g/(R*landa)-1)
22
23     elif h < 25000:
24         T11 = 216.65
25         P11 = 22552
26         rho11 = 0.3629
27         #landa=0
28
```

```
29         T=T11
30         P = P11*exp(-g*(h-11000)/(R*T))
31         rho=rho11*exp(-g*(h-11000)/(R*T))
32
33     elif h<47000:
34
35         landa=3e-3
36         T25=216.65
37         P25=2481
38         rho25=0.0399
39
40         T=T25+landa*(h-25000)
41         P=P25*(T/T25)**(-g/(R*landa))
42         rho=rho25*(T/T25)**(-g/(R*landa)-1)
43
44     elif h<180e3 :
45
46         #CIRA model
47         a0 = 7.001985e-2
48         a1 = -4.336216e-3
49         a2 = -5.009831e-3
50         a3 = 1.621827e-4
51         a4 = -2.471283e-6
52         a5 = 1.904383e-8
53         a6 = -7.189421e-11
54         a7 = 1.060067e-13
55
56         h = h*1e-3
57
58         polyh = ((((((a7*h + a6)*h + a5)*h + a4)*h + a3)*h + a2)*h + a1)*h +
59                 a0
60
61         rho = 10**(polyh)
62
63         #Esto no esta bien
64         T = 900 + 2.5 * (F10 - 70) + 1.5*Ap
65         P= rho*R*T
```

```
66     elif h<=550e3:
67
68         R = 287
69
70         T = 900 + 2.5 * (F10 - 70) + 1.5*Ap
71         mu = 27 - 0.012 * (h - 200)
72         H = T / mu
73         try:
74             rho = 6*10e-10*exp( - (h - 175) / H )
75         except:
76             rho = 0
77
78         #Esto no esta bien
79         P= rho*R*T
80
81     else:
82         #print('Atmósfera no apreciable')
83
84         rho=0
85         P=0
86         T=0
87
88     return P, rho, T
89
90 def isa_P(z):
91     P, rho, T = isa_altitude(z)
92     return P
93
94 def isa_rho(z):
95     P, rho, T = isa_altitude(z)
96     return rho
97
98 def isa_T(z):
99     P, rho, T = isa_altitude(z)
100    return T
```

## Bibliografía

- [1] temisAP/Trabajos\_AAV\_123.  
URL [https://github.com/temisAP/Trabajos\\_AAV\\_123](https://github.com/temisAP/Trabajos_AAV_123)
- [2] Vostok.  
URL <http://www.astronautix.com/v/vostok.html>
- [3] Vostok 1 - Wikipedia.  
URL [https://en.wikipedia.org/wiki/Vostok\\_1](https://en.wikipedia.org/wiki/Vostok_1)
- [4] 6 Surprising Facts About the First Manned Space Mission | Live Science.  
URL <https://www.livescience.com/33185-yuri-gagarin-vostok-1-faq-facts.html>